

Model stanowy układu z zad 6

5 września 2025

Filip David 193204 Piotr Marwitz 193606

Opis układu

Rozważany jest układ dwóch bezwładności obrotowych J_1 i J_2 połączonych idealną (sztywną) przekładnią o przełożeniu $n_1:n_2$. Po stronie wałów występują liniowe tłumienia do podłoża b_1 i b_2 . Wejściem jest moment napędowy τ_m po stronie J_1 .

Relacje kinematyczne przekładni sztywnej

Dla przekładni idealnej zachodzi

$$n_1 \theta_1 = n_2 \theta_2 \quad \Rightarrow \quad \theta_2 = \frac{n_1}{n_2} \theta_1, \quad \omega_2 = \dot{\theta}_2 = \frac{n_1}{n_2} \omega_1. \quad (1)$$

Parametry zastępcze

Redukując do jednej osi przez to że przekładnia jest sztywna (po stronie 1) otrzymujemy:

$$J_{\text{eq}} = J_1 + J_2 \left(\frac{n_1}{n_2} \right)^2, \quad b_{\text{eq}} = b_1 + b_2 \left(\frac{n_1}{n_2} \right)^2. \quad (2)$$

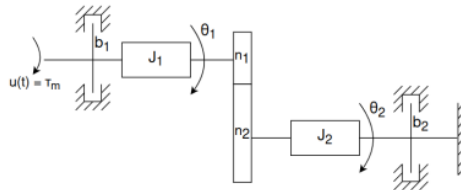
Równania ruchu

$$J_{\text{eq}} \dot{\omega}_1 + b_{\text{eq}} \omega_1 = \tau_m, \quad \dot{\theta}_1 = \omega_1. \quad (3)$$

Model w przestrzeni stanów

Wybieramy stan i wejście:

$$x = \begin{bmatrix} \theta_1 \\ \omega_1 \end{bmatrix}, \quad u = \tau_m. \quad (4)$$



Rysunek 1: schemat z zadania 6

Model:

$$\dot{x} = A x + B u, \quad y = C x + D u, \quad (5)$$

gdzie (dla wyjścia $y = [\theta_2 \ \omega_2]^\top$):

$$A = \begin{bmatrix} 0 & 1 \\ 0 & -\frac{b_{\text{eq}}}{J_{\text{eq}}} \end{bmatrix}, \quad B = \begin{bmatrix} 0 \\ \frac{1}{J_{\text{eq}}} \end{bmatrix}, \quad C = \begin{bmatrix} \frac{n_1}{n_2} & 0 \\ 0 & \frac{n_1}{n_2} \end{bmatrix}, \quad D = \begin{bmatrix} 0 \\ 0 \end{bmatrix}. \quad (6)$$

Schematy całkowania numerycznego (Euler i RK4)

Rozważmy ogólnie równanie stanu

$$\dot{x}(t) = f(t, x(t), u(t)), \quad x(t_k) = x_k, \quad h = t_{k+1} - t_k. \quad (7)$$

Metoda Eulera.

$$x_{k+1} = x_k + h f(t_k, x_k, u_k). \quad (8)$$

Dla układu liniowego $f(t, x, u) = Ax + Bu$:

$$x_{k+1} = (I + hA) x_k + h B u_k. \quad (9)$$

Runge–Kutta rzędu 4 (RK4).

$$k_1 = f(t_k, x_k, u_k), \quad (10)$$

$$k_2 = f\left(t_k + \frac{h}{2}, x_k + \frac{h}{2} k_1, u_k\right), \quad (11)$$

$$k_3 = f\left(t_k + \frac{h}{2}, x_k + \frac{h}{2} k_2, u_k\right), \quad (12)$$

$$k_4 = f(t_k + h, x_k + h k_3, u_k), \quad (13)$$

$$x_{k+1} = x_k + \frac{h}{6} (k_1 + 2k_2 + 2k_3 + k_4). \quad (14)$$

Dla układu liniowego $f = Ax + Bu$ (przy stałym u_k na kroku):

$$k_1 = Ax_k + Bu_k, \quad (15)$$

$$k_2 = A\left(x_k + \frac{h}{2} k_1\right) + Bu_k, \quad (16)$$

$$k_3 = A\left(x_k + \frac{h}{2} k_2\right) + Bu_k, \quad (17)$$

$$k_4 = A(x_k + h k_3) + Bu_k, \quad (18)$$

$$x_{k+1} = x_k + \frac{h}{6} (k_1 + 2k_2 + 2k_3 + k_4). \quad (19)$$

Wyjście dyskretne.

$$y_k = C x_k + D u_k. \quad (20)$$

Działanie programu (implementacja w Python)

Program realizuje symulację układu dwumasowego z przekładnią sztywną w oparciu o model stanowy z rozdziału wcześniejszego. Aplikacja została zbudowana w Pythonie z użyciem: `tkinter` (GUI), `NumPy` (obliczenia), `Matplotlib` (wykresy) oraz `Pillow` (wczytanie grafiki układu).

Struktura i główne komponenty

- **Funkcje modelu:** $f(t, x, u, A, B) = Ax + Bu$, $output(x, u, C, D) = Cx + Du$ (równanie wyjścia).
- **Integratory numeryczne:** *euler_step* (Euler) oraz *rk4_step* (Runge–Kutta rzędu 4) odwzorowujące odpowiednio wzory z sekcji *Schematy całkowania numerycznego*.
- **Generatory sygnału wejściowego $u(t)$:** sinusoidalny, prostokątny i trójkątny.

Interfejs użytkownika

W klasie *SimulatorApp* tworzony jest panel sterujący (lewa kolumna) i obszar wykresów (prawa strona):

- **Parametry układu:** $J_1, J_2, b_1, b_2, n_1, n_2$.
- **Parametry sygnału** (w zależności od typu): amplituda, okres (T) lub częstotliwość (f), faza, wypełnienie (dla przebiegu prostokątnego).
- **Parametry symulacji:** czas początkowy t_0 , czas końcowy t_f , krok całkowania h , warunki początkowe $\theta_1(0)$ (w stopniach, wewnętrznie konwertowane do radianów) oraz $\omega_1(0)$ (rad/s).
- **Wizualizacja:** osadzony rysunek układu, trzy wykresy Matplotlib (sygnał wejściowy, kąt θ_2 , prędkość ω_2), pasek narzędzi (zoom, zapis, przesuw).

Budowa modelu stanowego na podstawie danych

Po naciśnięciu *Symuluj* wywoływana jest metoda `run_simulation`:

1. Z formularza pobierane są $J_1, J_2, b_1, b_2, n_1, n_2$ i obliczane parametry zastępcze:

$$J_{eq} = J_1 + J_2 \left(\frac{n_1}{n_2} \right)^2, \quad b_{eq} = b_1 + b_2 \left(\frac{n_1}{n_2} \right)^2.$$

2. Na tej podstawie tworzone są macierze stanu:

$$A = \begin{bmatrix} 0 & 1 \\ 0 & -b_{eq}/J_{eq} \end{bmatrix}, \quad B = \begin{bmatrix} 0 \\ 1/J_{eq} \end{bmatrix}, \quad C = \begin{bmatrix} \frac{n_1}{n_2} & 0 \\ 0 & \frac{n_1}{n_2} \end{bmatrix}, \quad D = \begin{bmatrix} 0 \\ 0 \end{bmatrix}.$$

3. Generowana jest siatka czasu $t_k \in [t_0, t_f)$ z krokiem h (funkcja `np.arange`).
4. Warunek początkowy: $x_0 = [\theta_1(0), \omega_1(0)]^\top$, gdzie $\theta_1(0)$ konwertowane jest ze stopni do radianów.

Sygnał wejściowy $u(t)$

W zależności od wyboru użytkownika ustawiana jest funkcja:

$$\begin{aligned} \text{sinus: } u(t) &= A \sin(2\pi f t + \varphi), \\ \text{prostokąt: } u(t) &= \begin{cases} +A, & \text{jeśli } \text{fract}\left(\frac{t+\varphi}{T}\right) < d, \\ -A, & \text{w przeciwnym razie,} \end{cases} \\ \text{pila: } u(t) &= A \left(2 \text{fract}\left(\frac{t+\varphi}{T}\right) - 1 \right), \end{aligned}$$

$$\text{trójkąt (symetryczny):} \quad u(t) = \begin{cases} A \left(4 \operatorname{fract} \left(\frac{t + \varphi}{T} \right) - 1 \right), & \text{jeśli } \operatorname{fract} \left(\frac{t + \varphi}{T} \right) < \frac{1}{2}, \\ A \left(3 - 4 \operatorname{fract} \left(\frac{t + \varphi}{T} \right) \right), & \text{w przeciwnym razie.} \end{cases}$$

gdzie A – amplituda, f – częstotliwość, T – okres, φ – faza, $d \in (0, 1)$ – wypełnienie.

Pętla symulacji

Dla każdego kroku czasu wykonywane są:

1. Obliczenie $u_k = u(t_k)$.
2. **Krok Eulera:** $x_{k+1}^E = x_k^E + h f(t_k, x_k^E, u_k)$.
3. **Krok RK4:** zgodnie ze wzorem:

$$x_{k+1}^{\text{RK4}} = x_k^{\text{RK4}} + \frac{h}{6} (k_1 + 2k_2 + 2k_3 + k_4),$$

gdzie k_i liczone są dla $f(t, x, u) = Ax + Bu$.

4. Wyjście: $y_k^E = C x_k^E + D u_k$, $y_k^{\text{RK4}} = C x_k^{\text{RK4}} + D u_k$.

Kąt θ_2 przedstawiany jest na wykresie w stopniach [°] (konwersja z radianów), prędkość ω_2 w rad/s.

Wizualizacja wyników

Tworzone są trzy wykresy:

1. Sygnał wejściowy $u(t) = \tau_m(t)$ [Nm].
2. $\theta_2(t)$ dla Eulera i RK4.
3. $\omega_2(t)$ dla Eulera i RK4.

Przed rysowaniem osie są czyszczone (`ax.clear()`), a następnie aktualizowane (`canvas.draw()`). Dodano pasek narzędzi Matplotlib do interaktywnej obsługi wykresów (przybliżanie, zapisywanie).

Uwagi i wnioski

- Zwiększanie skoku powoduje utratę dokładności wyników obliczonych przy pomocy metody Eulera. Można uzyskać bardziej dokładny wynik poprzez ustawienie małej wartości skoku, ale wiąże się to ze zwiększeniem liczby obliczeń
- Układ o większym tłumieniu szybciej osiąga stan ustalony, ale ma mniejszą amplitudę ustalonej odpowiedzi dla danego wymuszenia
- Układ o mniejszym tłumieniu ma większe przeregulowania i drgania, co dobrze pokazuje wpływ parametrów fizycznych.
- Przy małych krokach różnice pomiędzy metodą Eulera a RK4 są niezauważalne.
- Na podstawie odpowiedzi układu na pobudzenia o różnych częstotliwościach, można wywnioskować, że układ pełni funkcję filtra dolnoprzepustowego - tłumi wyższe częstotliwości i przepuszcza niskie